

работ [6, 12] наблюдали полосу с максимумом 570 нм. Кроме того, растет интенсивность коротковолнового края, на нем появляется структура, в частности новая полоса с максимумом около 430 нм. По-видимому, она принадлежит большим агрегатам.

Существенное отличие фосфоресцентных характеристик больших агрегатов от соответствующих характеристик мономеров и малых агрегатов, близких друг к другу, качественно объясняется в рамках теории спектральных свойств молекулярных агрегатов Давыдова—Капи [10] и квантовомеханической теории возмущений [13]. Экситонное расщепление синглетного уровня ( $S_1$ ) большого агрегата сравнимо по энергии с синглет-триплетным расщеплением мономера. Как следствие этого, согласно теории возмущений, триплетное состояние ( $T_1$ ) сильно смешивается с синглетным ( $S_1$ ). В результате растет дипольный момент перехода между состояниями  $T_1$  и  $S_0$ , уровень  $T_1$  должен расщепиться, что, по-видимому, и приводит к наблюдавшимся нами изменениям люминесцентных характеристик триплетного состояния при переходе к большим агрегатам: уменьшению излучательного времени жизни  $T_1$ -состояния, большому сдвигу полосы фосфоресценции в длинноволновую сторону и росту ее квантового выхода.

### Литература

- [1] А. Н. Теренин. Фотоника молекул красителей. Наука, Л., 1967.
- [2] В. И. Южаков. Успехи химии, 48, 2007, 1979.
- [3] V. Zanker, M. Held, H. Rammensee. Z. Naturforsch., 14b, 789, 1959.
- [4] Л. А. Кузнецова, Б. Я. Свешников. Изв. АН СССР, сер. физ., 20, 433, 1956.
- [5] H. Rammensee, V. Zanker. Z. angew. Phys., 5, 237, 1960.
- [6] K. Jamaoka, J. Matzuoka, M. Miura. J. Phys. Chem., 78, 1040, 1974.
- [7] M. E. Lamm, D. M. Neville, Jr. J. Phys. Chem., 69, 3872, 1965.
- [8] В. Л. Рапопорт, А. З. Хрусталев, М. Д. Яковлев. Опт. и спектр., 47, 496, 1979.
- [9] T. Kiguchi, U. P. Strauss. J. Phys. Chem., 74, 3081, 1970.
- [10] E. G. McRae, M. Kasha. J. Chem. Phys., 28, 721, 1958.
- [11] R. W. Chambers, D. R. Kearns. J. Phys. Chem., 72, 4718, 1968.
- [12] H. Schmidt. Z. Physik, Chem. Neue Folge, 80, 44, 1972.
- [13] Л. Д. Ландау, Е. М. Лившиц. Квантовая механика (нерелятивистская теория). Наука, М., 1974.

Поступило в Редакцию 7 декабря 1982 г.

УДК 539.184

Opt. и спектр., 55, вып. 6, 1983

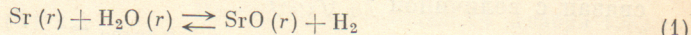
## ОПРЕДЕЛЕНИЕ ВЕРОЯТНОСТИ ОПТИЧЕСКОГО ПЕРЕХОДА $B^1 \Sigma \rightarrow X^1 \Sigma$ МОЛЕКУЛЫ SrO МЕТОДОМ СПЕКТРОФОТОМЕТРИИ ПЛАМЕН

Беляев В. Н., Лебедева Н. Л., Краснов К. С. и Гурвич Л. В.

Данная работа посвящена экспериментальному определению радиационных параметров молекулы SrO (переход  $B^1 \Sigma \rightarrow X^1 \Sigma$ ). К настоящему времени, если не считать оценки, сделанной сравнительным методом [1], в литературе отсутствуют какие-либо сведения об этих параметрах.

Эксперимент был выполнен на установке, описанной в [2], где также приведены характеристики используемых пламен. В отличие от [2] при расчете температуры пламен учитывались теплопотери на горелку.

Для исследования равновесия реакции



были измерены абсолютные интенсивности линии Sr ( $\lambda = 4607 \text{ \AA}$ ,  $f_{ik} = 1.80$  [3]) и интегральные интенсивности полос SrO, принадлежащие секвенции  $\Delta v = 3$  перехода  $B^1 \Sigma \rightarrow X^1 \Sigma$  ( $\lambda = 7880 \text{ \AA}$ ). Всего было выполнено 4 серии измерений.

Методика обработки экспериментальных данных описана в [4]. Для расчета величины  $P(\text{SrO}) f_{ik}(\bar{r}_{v'v''})$  использовалось уравнение

$$P(\text{SrO}) f_{ik}(\bar{r}_{v'v''}) = \text{const}(\text{SrO}) \frac{T Q_{\text{int}}(T) \exp\left[\frac{c_2}{T} T_{0-0}\right] S(\text{SrO})}{g_i \sum_{v'_1}^{v'_2} \sum_{v''_1}^{v''_2} Q'_{\text{rot}}(v', T) q(v', v'') \exp\left[-\frac{c_2}{T} G'_0(v')\right]}, \quad (2)$$

где  $f_{ik}(\bar{r}_{v'v''}) = \frac{f_{ik}(v'', v')}{q(v', v'')}$ ,  $f_{ik}(v'', v')$  — осцилляторная сила полосы в поглощении,  $q(v', v'')$  — фактор Франка—Кондона,

$$\text{const}(\text{SrO}) = 1.538 \cdot 10^{-10} \frac{\tau_{\text{lamp}}(\bar{\lambda}) \tau_{\text{lens}}(\bar{\lambda}) \Delta \varepsilon(\bar{\lambda}, T_{\text{lamp}})}{S_{\text{lamp}} \frac{\bar{\lambda}^{-5}}{\lambda_{\text{SrO}}^3} l_{\text{ef}} \exp\left[-\frac{c_2}{\bar{\lambda} T_{\text{lamp}}}\right]},$$

$g_i = 1$  — статистический вес нижнего ( $X^1 \Sigma$ ) состояния;  $T_{0-0} = 10870.7 \text{ см}^{-1}$  [5] — энергия перехода между нулевыми колебательными уровнями состояний  $B^1 \Sigma$  и  $X^1 \Sigma$ ;  $G'_0(v')$  — колебательный терм, отсчитанный от нулевого колебательного уровня верхнего ( $B^1 \Sigma$ ) состояния;  $S(\text{SrO})/S_{\text{lamp}}$  — отношение интенсивностей полос SrO к интенсивности температурной лампы в спектральном интервале  $\Delta \lambda$  и ее температуре  $T_{\text{lamp}}$ ;  $\bar{\lambda}$  — средняя длина волн интервала  $\Delta \lambda$ ;  $\lambda_{\text{SrO}} = 7882 \text{ \AA}$  — средневзвешенное значение длин волн нулевых линий полос секвенции;  $\varepsilon(\bar{\lambda}, T_{\text{lamp}})$  — излучательная способность рабочего тела температурной лампы (вольфрама);  $l_{\text{ef}} = 0.57 \text{ см}$  — эффективная толщина аналитической зоны пламени;  $\tau_{\text{lens}}(\bar{\lambda}) = 0.882$ ,  $\tau_{\text{lamp}}(\bar{\lambda}) = 0.957$  — коэффициенты пропускания фокусирующей линзы и стекла температурной лампы;  $c_2 = 1.43879 \text{ см} \cdot \text{K}$  — вторая радиационная постоянная, величина  $1.538 \cdot 10^{-10} = 0.9869 \cdot 10^{-6} m_e c^2 K / \pi e^2$  связана с фундаментальными постоянными, значения которых брались в [5];  $0.9869 \cdot 10^{-6}$  — коэффициент, переводящий давление из  $\text{дин}/\text{см}^2$  в безразмерную величину  $P/P^0 = P(\text{SrO})$ , где  $P^0 = 1 \text{ атм} = 101325 \text{ Па}$ .

Молекулярные постоянные SrO для расчета статистических сумм  $Q_{\text{int}}(T)$  и  $Q'_{\text{rot}}(v', T)$  брались в [5], значения  $q(v', v'')$  — в [6] (табл. 1). Интенсивностями полос, не указанных в табл. 1, пренебрегалось.

Таблица 1  
Значения длин волн нулевой линии  $\lambda_{\text{SrO}}$ , факторов  
Франка—Кондона и  $r$ -центроид для полос секвенции  $\Delta v = 3$   
перехода  $B^1 \Sigma \rightarrow X^1 \Sigma$  SrO [6]

	Переход			
	3-2	4-1	5-2	6-3
$\lambda_{\text{SrO}}, \text{\AA}$	7863	7884	7901	7915
$q(v', v'')$	0.111	0.161	0.132	0.0722
$r_{v'v''}, \text{\AA}$	1.8713	1.8741	1.8771	1.8808

Коэффициент  $b$  уравнения

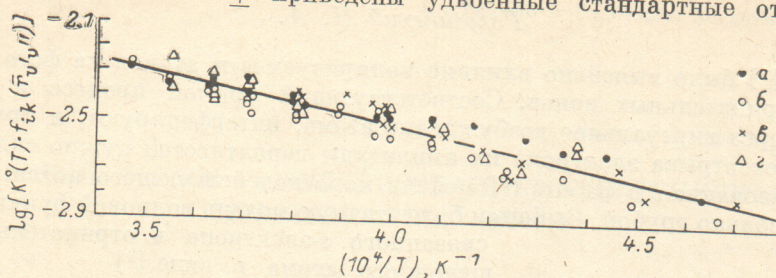
$$\lg [K^0(T) f_{ik}(\bar{r}_{v'v''})] = \frac{a}{T} + b \quad (3)$$

связан с величиной  $f_{ik}(\bar{r}_{v'v''})$

$$\lg f_{ik}(\bar{r}_{v'v''}) = b - 0.43429 \frac{\Delta_r S^0(\bar{T})}{R}. \quad (4)$$

В результате обработки уравнения (3) методом наименьших квадратов получены (см. рисунок):  $b = -0.797 \pm 0.156$ ,  $a = -4282 \pm 392$ , что приводит к зна-

чениям  $f_{ik}(r_{v'v''}) = 0.010 \pm 0.004$  и  $\Delta_r H^0(O) = 64 \pm 8$  кДж/моль. Необходимые для пересчета значения термодинамических функций приняты по [5]. Получаемая при этом величина  $f_{ik}(r_{v'v''})$  соответствует средневзвешенному значению  $r_{v'v''} = 1.8743 \text{ \AA}$ . Со знаком  $\pm$  приведены удвоенные стандартные отклонения.



Температурная зависимость  $\lg [K^0(T)f_{ik}(\bar{r}_{v'v''})]$  реакции (1).  
— 1-я съемка, б — 2-я съемка, в — 3-я съемка, г — 4-я съемка.

Значение  $f_{ik}(r_{v'v''})$  было использовано для расчета вероятности  $A_{ki} = A_{ki}(v', v'')/q(v', v'')$ , электронного момента  $R_e(r_{v'v''})$  и силы  $S_e(r_{v'v''})$  перехода (табл. 2).

Таблица 2  
Радиационные параметры перехода  $B^1\Sigma \rightarrow X^1\Sigma$  молекулы SrO

$r_{v'v''}, \text{\AA}$	$f_{ik}(r_{v'v''})$	$A_{ki} \cdot 10^{-6} \text{ с}^{-1}$	$R_e(r_{v'v''}), \text{ат. ед.}$	$S_e(r_{v'v''}), \text{ат. ед.}$
1.8743	$0.010 \pm 0.004$	$1.1 \pm 0.4$	$0.51 \pm 0.10$	$0.26 \pm 0.10$
1.9761	$0.036$	$2.9$	$1.05$	$1.1$

Приложение. Первая строка — данные настоящей работы, вторая — данные [1]. Авторами [1] точность в значениях  $f_{ik}(r_{v'v''})$ ,  $A_{ki}$  и  $S_e(r_{v'v''})$  оценивается коэффициентом 3, в  $R_e(r_{v'v''})$  — коэффициентом  $1.7 \approx \sqrt{3}$ .

В заключение отметим, что полученному значению  $\Delta_r H^0(O)$  реакции (1) соответствует  $D_0(\text{SrO}) = 422 \pm 8$  кДж/моль =  $35300 \pm 700 \text{ см}^{-1}$ , которая согла-суется с результатами работ [7-10].

### Литература

- [1] Вероятности оптических переходов двухатомных молекул. Под ред. Р. В. Хохлова. М.: Наука, 1980.
- [2] В. Н. Беляев, Л. В. Гурвич, Н. Л. Лебедева, К. С. Краснов. Деп. ВИНИТИ 14.07.81, № 3479-81 Деп.
- [3] L. O. Dickie et al. Can. J. Phys., 51, 1088, 1973.
- [4] В. Н. Беляев, Н. Л. Лебедева, К. С. Краснов, Л. В. Гурвич. Изв. вузов СССР. Химия и хим. технология, № 25, 834, 1982.
- [5] Л. В. Гурвич, И. В. Вейц, В. А. Медведев. Термодинамические свойства индивидуальных веществ. Справочник. Под ред. Глушко В. П. и др., 3-е изд. Наука, М., т. 1, 1978; т. 3, 1984.
- [6] J. C. McCallum, W. R. Jarmain, R. W. Nicholls. CRESS Spectroscopic report NI. York University, Toronto, 1970.
- [7] R. Colin, P. Goldfinger, M. Jeunohomme. Trans. Farad. Soc., 60, N 494, 306, 1964.
- [8] J. Drowart, G. Exteen, G. Verhaegen. Trans. Farad. Soc., 60, N 503, 1920, 1964.
- [9] M. Asano, Y. Yamamoto, M. Sasaki, K. Kubo. Bull. Chem. Soc. Japan, 45, 82, 1972.
- [10] R. Kalif, C. T. J. Alkemade. J. Chem. Phys., 59, 2577, 1973.

Поступило в Редакцию 14 декабря 1982 г.